

بهبود تفکیک پذیری جانبی و کنتراست در تصویربرداری فراصدایی روزنه ترکیبی با استفاده از پرتودیسی (شکل دهی پرتو) دو مرحله‌ای

سامان فریدسلطانی، بابک محمدزاده اصل*

دانشکده مهندسی برق و کامپیوتر، دانشگاه تربیت مدرس

چکیده

در این مقاله، پرتودیسی (شکل دهی پرتو) متوالی دو مرحله‌ای روزنه ترکیبی (روزنه هگزارده) با هدف بهبود تفکیک پذیری (رزولوشن) جانبی در کنار عدم وابستگی آن به عمق و بهبود کنتراست نسبت به روش تمرکز دینامیک در حالت (مُد) دریافت ارائه شده است. پرتودیسی (شکل دهی پرتو) دو مرحله‌ای پیشنهادی شامل دو پرتودیسی (شکل دهنده پرتو) به صورت متوالی می‌باشد. خروجی پرتودیسی (شکل دهنده پرتو) مرحله اول، یک مجموعه خطوط تصویر ب-حالت (بی-مُد) با تفکیک پذیری (رزولوشن) پایین می‌باشد که با استفاده از یک نقطه کانونی ثابت در حالت (مُد) ارسال و دریافت به دست می‌آیند. شکل دهنده پرتو مرحله دوم ب-حالت (بی-مُد) خطوط متمرکز شده تصویر مرحله اول را به عنوان داده ورودی استفاده کرده و از خروجی آن یک تصویر با تفکیک پذیری (رزولوشن) بالا خواهد شد. نتایج به دست آمده نشان می‌دهند تفکیک پذیری (رزولوشن) جانبی (برحسب اِف‌دبلیو اِچ‌ام) در تراز ۶ دسی بل نسبت به روش تمرکز دینامیک در حالت (مُد) دریافت، تقریباً ۲/۵ برابر بهبود می‌یابد. روش پیشنهادی ارائه شده به طور متوسط، کنتراست را از لحاظ معیارهای نسبت کنتراست و نسبت کنتراست به نوفه (نویز) به ترتیب به میزان ۵ دسی بل و ۶۰ درصد در قیاس با روش تمرکز دینامیک در حالت (مُد) دریافت بهبود داده است. روش پرتودیسی (شکل دهی پرتو) دو مرحله‌ای متوالی جهت شبیه‌سازی شده، کیست ۲ میلی‌متری که در تصاویر روش تمرکز دینامیک در حالت (مُد) دریافت قابل تشخیص نبود را به طور واضح نشان می‌دهد.

کلیدواژه‌ها: تصویربرداری فراصدایی، روزنه ترکیبی، روش تمرکز دینامیک در حالت (مُد) دریافت، پرتودیسی (شکل دهی پرتو) متوالی.

۱. مقدمه

(تراگسیل) روزنه هگزارده^۴ با تک عنصر (المان) می‌باشد که در هر مرحله ارسال (تراگسیل) از یک تک عنصر برای ارسال موج کروی به بافت تحت مطالعه استفاده می‌کند. در این روش، علامت‌های (سیگنال‌های) برگشتی توسط تمامی عنصرهای دریافتی، دریافت خواهند شد و علامت بسامد رادیویی^۵ ثبت شده به وسیله تمامی کانال‌ها ذخیره خواهد شد. در ادامه پرتودیسی (شکل دهنده) پرتوی تأخیر و حاصل جمع^۶، روی این داده‌ها اعمال شده و از این‌رو، یک تصویر با تفکیک پذیری (رزولوشن) پایین برای هر ارسال تشکیل خواهد شد. در نهایت از جمع تصاویر تفکیک پذیری (رزولوشن) پایین حاصل از هر عنصر آرایه ارسال، یک تصویر با تفکیک پذیری بالا نتیجه خواهد شد. با توجه به اینکه در این حالت تمرکز در حالت (مُد) ارسال و دریافت به صورت دینامیکی صورت می‌گیرد، این روش

مفهوم روزنه هگزارده (ترکیبی)، به کارگیری متوالی چندین روزنه کوچک واقعی به منظور ایجاد یک روزنه بزرگ مجازی می‌باشد. تصویربرداری به روش روزنه هگزارده در ابتدا در حوزه رادار با عنوان رادار روزنه هگزارده (ترکیبی)^۲ معرفی گردید. پیدایش این مفهوم به محققانی مانند ویلی، کورترونا و شروین نسبت داده می‌شود [۱-۴]. در سال ۱۹۷۸، کورترونا امکان استفاده از مفهوم روزنه هگزارده را در حوزه سونار با عنوان سونار روزنه هگزارده^۳ مورد بررسی قرار داد [۵-۶]. هم‌زمان با پیدایش سونار روزنه هگزارده استفاده از مفهوم روزنه هگزارده در تصویربرداری فراصدایی (اولتراساوند) تشخیصی مورد بررسی قرار گرفت [۷-۸]. نوع مرسوم تصویربرداری روزنه هگزارده استفاده از روش ارسال

* نویسنده پاسخگو: babakmasl@modares.ac.ir

⁴ Synthetic transmit aperture

⁵ Radio frequency

⁶ Delay and sum beamforming

² Synthetic aperture radar

³ Synthetic aperture sonar

کردن تفکیک پذیری نسبت به عمق است. این روش در مقایسه با روش تمرکز دینامیک در حالت (مُد) دریافت دی آراف^۲، که تفکیک پذیری آن با افزایش عمق بدتر خواهد شد ارائه شده است که باعث بهبود کنتراست تصویربرداری فراصدای (اولتراساوند) پزشکی می‌گردد. هم‌چنین این روش نسبت به روش روزنه هگنارده با تک عنصر در ارسال، دارای پیچیدگی محاسباتی کم‌تر می‌باشد.

در ادامه و در بخش ۲، پرتودیسی (شکل‌دهنده پرتو) دو مرحله‌ای بررسی می‌شود. در بخش ۳ نتایج شبیه‌سازی‌ها به همراه بحث در مورد عملکرد پرتودیسی‌گرهای (شکل‌دهنده پرتوهای) مختلف آورده شده‌اند و در نهایت جمع‌بندی در بخش ۴ ارائه شده است.

۲. مواد و روش‌ها

روش پرتودیسی (شکل‌دهی پرتو) دو مرحله‌ای از دو پرتودیسی (شکل‌دهنده پرتو) مجزا استفاده می‌کند که به صورت متوالی روی داده دریافتی از محیط اعمال می‌شوند. مرحله اول این روش ساخت و ذخیره تعدادی خطوط تصویر بی-مُد^۴ می‌باشد که این خطوط به منظور پردازش نهایی به پرتودیسی مرحله دوم وارد می‌شوند. خروجی نهایی در مرحله دوم یک تصویر با تفکیک پذیری (رزولوشن) بالا خواهد بود.

۲-۱. مرحله اول روش پرتودیسی (شکل‌دهی پرتو) دو مرحله‌ای

یکی از معایب روش روزنه هگنارده با تک عنصر (المان) در ارسال (تراگسیل)، نسبت علامت (سیگنال) به نوفه (نویز) پایین این روش به علت توان کم موج ارسالی در هر مرحله ارسال می‌باشد. یک روش برای افزایش نسبت علامت به نوفه استفاده از نقاط کانونی ارسال به‌عنوان منبع مجازی است. موج کروی با دور شدن از نقطه کانونی ارسال واگرا می‌شود، در این حالت منبع مجازی مانند تک منبع ارسال کننده موج عمل می‌کند با این تفاوت که در مکان نزدیک‌تر به بافت تحت مطالعه در نظر گرفته می‌شود.

دارای تفکیک‌پذیری و کنتراست قابل قبولی می‌باشد. از آنجایی که این روش در هر ارسال از M کانال برای ذخیره داده و از M^2 اکوی ثبت شده برای ساخت هر تصویر استفاده می‌کند که M بیانگر تعداد عنصرهای آرایه می‌باشد در نتیجه سخت‌افزار سامانه از نظر قابلیت پردازش، انتقال و ذخیره داده پیچیده می‌باشد و پیاده‌سازی عملی این روش بسیار مشکل و پرهزینه خواهد بود [۹-۱۱]. استفاده از یک عنصر در هر ارسال، نسبت علامت به نوفه پایین^۱ و عمق نفوذ کمی را نتیجه خواهد داد. در مرجع [۱۲-۱۳] محققان نشان دادند که با استفاده از مفهوم منبع مجازی می‌توان نسبت علامت (سیگنال) به نوفه (نویز) را افزایش داد و تفکیک‌پذیری (رزولوشن) جانبی را با افزایش عمق ثابت نگه داشت. در مرجع [۱۴]، یک فن^۲ تمرکز در تصویربرداری روزنه هگنارده به‌صورت مونواستاتیک ارائه شد. این روش از یک تراگذار (مبدل) تک عنصری مقعر بهره می‌برد که دارای قابلیت چرخش و تمرکز به‌صورت مکانیکی می‌باشد. منابع دریافت‌کننده‌های مجازی با تمرکز مکانیکی تک عنصر مقعر در نقاط کانونی ارسال و دریافت ایجاد می‌شوند. خطوط تصویر ایجادشده در هر مرحله ارسال و دریافت به‌منظور پردازش نهایی به یک شکل‌دهنده پرتو ارسال می‌شوند. به دلیل محدودیت در چرخش تراگذار (مبدل) این روش بهبود چندانی در تفکیک‌پذیری جانبی ایجاد نکرد.

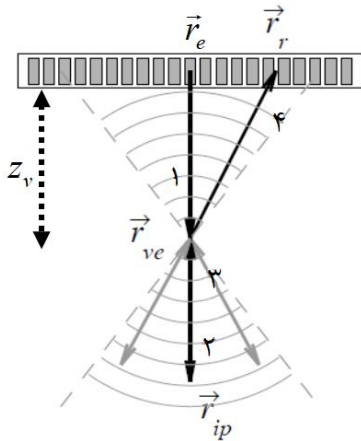
در این پژوهش نوع دیگری از فن^۲ تمرکز در تصویربرداری روزنه هگنارده برای تراگذار آرایه‌ای خطی ارائه شده است که به پرتودیسی (شکل‌دهی پرتو) دو مرحله‌ای شناخته شده است. برخلاف حالت مونواستاتیک در این روش منابع و دریافت‌کننده‌های مجازی در هر مرحله ارسال و دریافت با اعمال تأخیر مناسب به گروهی از عنصرهای آرایه خطی ایجاد می‌شوند [۱۵-۱۷]. این روش از دو پرتودیسی (شکل‌دهنده پرتو) بهره می‌برد که خطوط تصویر خروجی نتیجه شده از مرحله اول به‌عنوان ورودی مرحله دوم مورد استفاده واقع می‌شوند. هدف روش پرتودیسی (شکل‌دهی پرتو) دو مرحله‌ای (اس‌ای‌اس‌بی)^۳ که ارائه شده در این تحقیق ارائه شده، بهبود تفکیک‌پذیری جانبی و مستقل

³ DRF; Dynamic Receive Focusing

⁴ B-mode

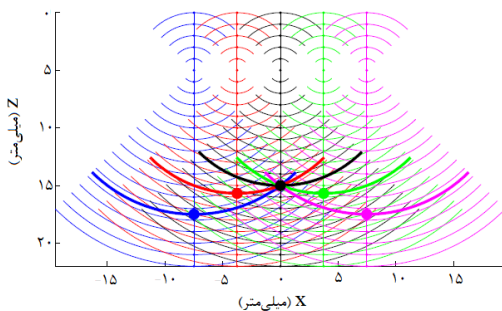
¹ Signal to noise ratio

² SASB; Synthetic Aperture Sequential Beamforming



شکل ۱ مسافت طی شده توسط موج برای محاسبه تأخیر در پرتودیسیگر (شکل دهنده پرتو) مرحله اول برای عنصر \vec{r}_r و نقطه تصویر \vec{r}_{ip} وقتی تمرکز ثابت در دریافت اعمال شده است [۱۵].

در پرتودیسیگر (شکل دهنده پرتو) مرحله اول بعد از هر ارسال، یک خط تصویر با تفکیک پذیری (رزولوشن) پایین ایجاد می‌شود. این خطوط، به‌عنوان داده ورودی به پرتودیسیگر مرحله دوم منتقل می‌شوند.



شکل ۲ مثالی از انتشار موج و خطوط تصویر پرتودیسیگر (شکل دهنده پرتو) مرحله اول از پنج ارسال متفاوت [۱۵].

۲-۲. مرحله دوم روش (پرتودیسی) شکل‌دهی پرتو دو مرحله‌ای

یک نقطه تصویر با تفکیک پذیری (رزولوشن) بالا در روش پرتودیسی (شکل‌دهی پرتو) دو مرحله‌ای با استخراج اطلاعات از همه خطوط تصویر با تفکیک پذیری (رزولوشن) پایینی که اطلاعاتی درباره موقعیت مکانی آن نقطه دارند تشکیل می‌شود. همان‌طور که در شکل ۲ مشخص است نقطه مشکی رنگ در $x=0$ در یک رفتار هم‌فاز از چند خط تصویر مرحله اول قرار دارد. به بیان ساده‌تر، پروفایل تأخیر برای تمرکز در نقطه مشکی‌رنگ در ارسال

در هر مرحله ارسال با اعمال تأخیر به تعداد مشخصی از عنصرها، نقطه کانونی ارسال به عنوان یک منبع مجازی ارسال‌کننده موج کروی در نظر گرفته می‌شود که از لحاظ مکانی محدوده مشخصی را بر طبق زاویه بازشدگی^۱ (α) پوشش می‌دهد. پرتودیسیگر (شکل‌دهنده پرتو) مرحله اول در حالت (مُد) دریافت دارای تمرکز ثابت می‌باشد که نقطه کانونی در دریافت با نقطه کانونی در ارسال یکی فرض می‌شود. این نقطه کانونی به‌عنوان دریافت‌کننده مجازی موج عمل می‌کند. منابع و دریافت‌کننده‌های مجازی می‌توانند به‌عنوان یک آرایه مجازی عمل کنند. در پرتودیسیگر (شکل‌دهنده پرتو) مرحله اول، تأخیرهای لازم برای تمرکز ثابت در دریافت، به صورت زمان انتشار موج از عنصر ارسال‌کننده، \vec{r}_e ، موقعیت منبع مجازی، \vec{r}_{ve} ، و از آن‌جا به نقطه تصویر، \vec{r}_{ip} ، و در برگشت، به عنصر دریافت‌کننده، \vec{r}_r ، از طریق منبع مجازی در نظر گرفته می‌شود. با فرض اینکه سرعت صدا در محیط، c ، باشد مقدار تأخیر، t_d ، توسط رابطه $t_d = \frac{d}{c}$ به دست می‌آید که d مطابق شکل ۱، مسافتی است که موج طی می‌کند و به صورت زیر قابل محاسبه است:

$$d = z_v \pm 2z_{vf} + |\vec{r}_r - \vec{r}_{ve}| \quad (1)$$

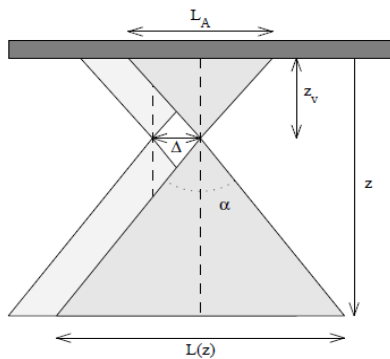
که در آن z_v فاصله آرایه تا موقعیت عنصر مجازی، z_{vf} فاصله مکان عنصر مجازی تا نقطه تصویر $(|\vec{r}_{ip} - \vec{r}_{ve}|)$ و \vec{r}_{ve} بیانگر موقعیت عنصر مجازی می‌باشد. علامت \pm به بالا و یا پایین بودن نقطه تصویر نسبت به موقعیت عنصر مجازی اشاره دارد. برخلاف روش تمرکز دینامیک در حالت (مُد) دریافت، در این حالت ترم $|\vec{r}_r - \vec{r}_{ve}|$ که در بردارنده موقعیت عنصرهای دریافتی است به نقطه تصویر، \vec{r}_{ip} وابسته نمی‌باشد. بنابراین شکل‌دهنده پرتو مرحله اول پیچیدگی محاسبات کم‌تری نسبت به روش تمرکز دینامیک در حالت (مُد) دریافت خواهد داشت. با اعمال تمرکز ثابت در دریافت، هر نقطه روی خط تصویر تمرکز شده در مرحله اول شامل اطلاعاتی از موقعیت‌های مکانی مختلفی می‌باشد که روی کمان دایره‌گذرنده از نقطه تصویر قرار دارند. این کمان‌های پرننگ در شکل ۲ نشان داده شده‌اند که مرکز آن‌ها در نقطه کانونی قرار دارد.

^۱ Opening angle

فاصله بین دو منبع مجازی متوالی و α محدودی زاویه‌ای احاطه شده توسط هر ارسال (تراگسیل) را مشخص می‌کند. این محدوده برای تمامی ارسال‌های مرحله اول توسط رابطه ۵ بدست می‌آید [۱۸]:

$$\alpha = 2 \arctan \frac{1}{2F_{\#}} \quad (5)$$

که در این رابطه با فرض اینکه L_A اندازه هر زیرآرایه ارسال باشد $F_{\#} = \frac{z_V}{L_A}$ خواهد بود.



شکل ۳ الگوی هندسی امواج ارسال شده از دو ارسال متوالی [۱۵].

رابطه ۴ نشان می‌دهد که $K(z)$ به‌طور خطی با افزایش فاصله از منبع مجازی، افزایش می‌یابد که این تضمین‌کننده ثابت ماندن تفکیک‌پذیری جانبی با افزایش عمق تصویربرداری می‌باشد. نکته مهم بعد از محاسبه $K(z)$ این است که انتخاب خطوط حول خط تصویری که نقاط تصویر روی آن قرار است تفکیک‌پذیری بالایی داشته باشند به‌صورت متقارن فرض شده‌اند. با توجه به اینکه از یک عمق خاص به بعد $K(z)$ دیگر افزایش نخواهد یافت، بنابراین تفکیک‌پذیری جانبی ثابت نخواهد ماند. بیش‌ترین مقدار $K(z)$ برابر با تعداد خطوط تصویر مرحله اول می‌باشد.

۳. نتایج

عملکرد روش پرتودیسی (شکل دهی پرتو) دو مرحله‌ای وابسته به مکان عنصر (المان) مجازی (z_V) و $F_{\#}$ می‌باشد. این دو مؤلفه تعیین‌کننده طول زیرآرایه ارسال و دریافت می‌باشند. در این تحقیق جهت بررسی تفکیک‌پذیری (رزولوشن) جانبی تصاویر، برای $F_{\#}$ مقادیر ۱، ۱٫۵ و ۲ و منبع مجازی در عمق ۲۰ میلی‌متر در نظر گرفته شد. به

(تراگسیل) اول، دقیقاً یکسان با پروفایل تاخیر استفاده شده برای نقطه آبی‌رنگ در همان ارسال است، با توجه به اینکه هر دو نقطه روی کمان آبی‌رنگ قرار دارند برای بقیه خطوط تصویر با تفکیک‌پذیری (رزولوشن) پایین مرحله اول نیز استدلالی به همین صورت می‌تواند به‌کار برده شود. بنابراین، هر نمونه خروجی از مرحله دوم، با انتخاب یک نمونه از هر خطوط تصویر با تفکیک‌پذیری پایین مرحله اول که شامل اطلاعاتی از موقعیت مکانی آن نقطه است ساخته می‌شود که این نمونه‌ها در نهایت به‌صورت وزن‌دار با هم جمع می‌شوند. رابطه زیر برای ساخت هر نقطه با تفکیک‌پذیری بالا در موقعیت $\vec{r}_{ip} = (x, z)$ به‌کار می‌رود:

$$h(\vec{r}_{ip}) = \sum_{k=1}^{K(z)} W(x_k, z) s_{x_k}(z_k) \quad (2)$$

که در آن، s_{x_k} خط تصویر با تفکیک‌پذیری پایین مربوط به ارسال k -ام در موقعیت x_k می‌باشد و z_k عمق نقطه‌ای است که می‌خواهیم تفکیک‌پذیری آن را بالا ببریم. $K(z)$ تعداد منابع مجازی بکار رفته برای یک نقطه از خط تصویر با تفکیک‌پذیری (رزولوشن) بالا می‌باشد و معیاری از اندازه آرایه ساخته شده است. در مرحله اول، با تمرکز ثابت در حالت (مُد) ارسال و دریافت روی نقطه‌ای که منبع مجازی قرار دارد، z_k به‌صورت زیر قابل محاسبه است:

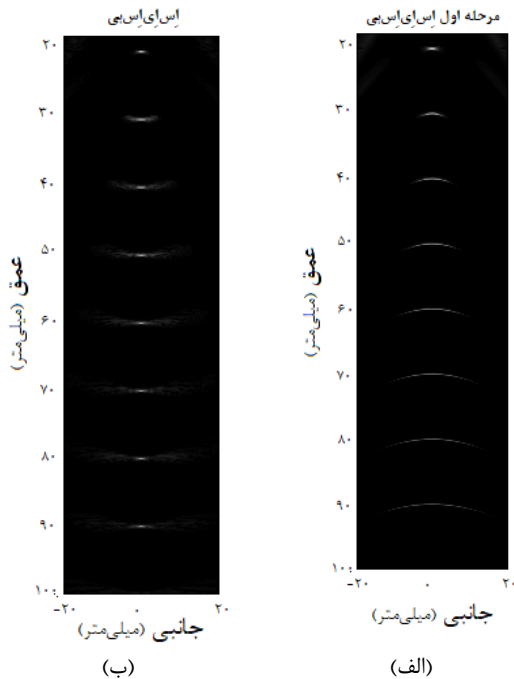
$$z_k = 2z_V \pm 2 \left| \vec{r}_{ip} - \vec{r}_{v_{x_k}} \right| \quad (3)$$

که $\vec{r}_{v_{x_k}}$ به موقعیت عنصر مجازی k -ام اشاره دارد. متغیر W در رابطه ۲ تابع وزن‌دهی می‌باشد که سهم وزن‌دهی از هر خط تصویر با تفکیک‌پذیری پایین را کنترل می‌کند. اندازه بردار W برای هر نقطه تصویر، متناسب با $K(z)$ می‌باشد به‌طوری‌که با تغییر آن اندازه بردار W تغییر خواهد کرد. برای ساخت یک نقطه تصویر با تفکیک‌پذیری بالا در $\vec{r}_{ip} = (x, z)$ باید محاسبه شود. مطابق شکل ۳، $K(z)$ رابطه مستقیمی با عمق نقطه‌ای دارد که می‌خواهیم تفکیک‌پذیری آن را بالا ببریم. برای محاسبه تعداد خطوط تصویر با تفکیک‌پذیری پایین سهیم در یک نقطه، از رابطه زیر استفاده خواهد شد [۱۸]:

$$K(z) = \frac{2(|z - z_V|) \tan \frac{\alpha}{2}}{\Delta} \quad (4)$$

رابطه ۴ از هندسه شکل ۳ بدست آمده است، که در آن Δ

می‌باشد که اثبات‌کننده این حقیقت است که استفاده از اطلاعات خطوط تصویر با تفکیک‌پذیری پایین مربوط به مرحله اول در بازسازی نقاط تصویر، تفکیک‌پذیری جانبی را بهتر کرده و در راستای عمق، تفکیک‌پذیری را ثابت نگه داشته است.



شکل ۴ (الف) تصویر مرحله اول روش پرتودیسی (شکل دهی پرتو) دو مرحله‌ای، (ب) تصویر مرحله دوم روش پرتودیسی (شکل دهی پرتو) دو مرحله‌ای. $F_{\#}$ مقدار ۱٫۵ و عمق منبع مجازی در ۲۰ میلی‌متر در نظر گرفته شده است. محدوده دینامیکی تصاویر ۶۰ دسی‌بل می‌باشند.

۲-۳. بررسی تأثیر $F_{\#}$ بر تفکیک‌پذیری (رزولوشن) جانبی و لوب‌های کناری با تغییر اندازه زیرآرایه‌ها و عمق منبع مجازی

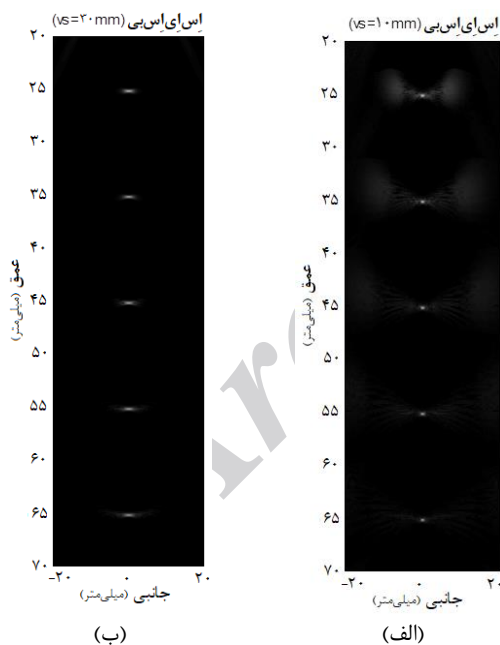
تغییر پارامتر $F_{\#}$ عملکرد روش پرتودیسی (شکل دهی پرتو) دو مرحله‌ای را تحت تأثیر قرار می‌دهد به طوری که با کاهش $F_{\#}$ تفکیک‌پذیری (رزولوشن) جانبی بهتری بدست خواهد آمد ولی در عوض، لوب‌های کناری بیش‌تر خواهند شد. بنابراین انتخاب $F_{\#}$ مناسب به منظور داشتن مصالحه‌ای بین تفکیک‌پذیری جانبی و لوب‌های کناری تصاویر امری ضروری می‌باشد. این نکته در شکل ۵ که به ترتیب از چپ به راست برای $F_{\#}$ های ۱، ۱٫۵ و ۲ رسم شده‌اند خود را نشان می‌دهد.

منظور اعتبار بخشی بهبودهای روش ارائه شده نسبت به روش تمرکز دینامیک در حالت (مُد) دریافت، از یک فانتوم هشت نقطه‌ای از عمق ۱۵ تا ۹۵ میلی‌متر استفاده شد. برای مقایسه نتایج روش پرتودیسی (شکل دهی پرتو) دو مرحله‌ای با روش تمرکز دینامیک در حالت (مُد) دریافت، $F_{\#} = ۱٫۵$ و منبع مجازی در عمق ۲۰ میلی‌متری انتخاب شدند. فانتوم استفاده شده در بخش ۳-۳ یک فانتوم ۸ نقطه‌ای می‌باشد که هدف‌های تصویر از عمق ۱۵ تا ۹۵ میلی‌متر در مرکز تصویر واقع شده‌اند. از یک آرایه خطی ۴۰۱ عنصری که بسامد مرکزی و بسامد نمونه‌برداری آن به ترتیب ۷ و ۱۲۰ مگاهرتز می‌باشند، استفاده شد. هم‌چنین ارتفاع، عرض هر عنصر و فاصله بین مرکز دو عنصر متوالی به ترتیب ۴٫۵، ۰٫۱۷۳ و ۰٫۲۰۸ میلی‌متر در نظر گرفته شدند. فاصله بین دو منبع مجازی متوالی برابر با فاصله بین مرکز دو عنصر متوالی می‌باشد. تعداد عنصرهای زیرآرایه‌های استفاده شده در مرحله اول در حالت (مُد) ارسال و دریافت یکسان می‌باشند. خطوط تصویر با تفکیک‌پذیری پایین مرحله اول در وسط زیرآرایه‌های استفاده شده می‌باشند. برای ساخت خطوط تصویر با تفکیک‌پذیری پایین مرحله اول، مرکز هر زیرآرایه، یک عنصر در راستای آرایه شیفت داده می‌شود. تعداد عنصرهای استفاده شده در زیرآرایه‌های ارسال و دریافت برای $F_{\#}$ های ۱، ۱٫۵ و ۲ به ترتیب ۹۵، ۶۳ و ۴۹ انتخاب شده‌اند. از نرم‌افزار فیلد ۲ به منظور شبیه‌سازی استفاده شده است [۱۹].

۳-۱. بررسی تفکیک‌پذیری (رزولوشن) جانبی در فانتوم نقطه‌ای

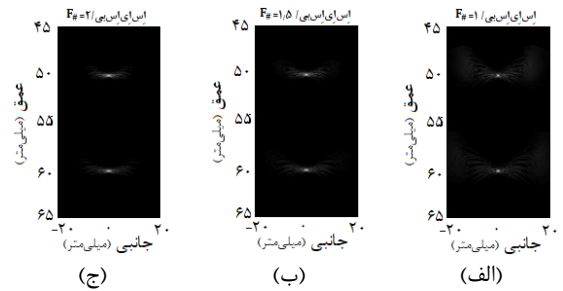
شکل ۴ تصویر خروجی مرحله اول و مرحله دوم در روش پرتودیسی (شکل دهی پرتو) دو مرحله‌ای را نشان می‌دهد. تصویر ۴-الف مربوط به خروجی مرحله اول می‌باشد که از کنار هم قرار گرفتن خطوط تصویر با تفکیک‌پذیری (رزولوشن) پایین تشکیل شده است. در مرحله اول تفکیک‌پذیری (رزولوشن) جانبی با افزایش عمق نسبت به موقعیت عنصر (المان) مجازی (واقع در عمق ۲۰ میلی‌متر) بدتر می‌شود. تصویر ۴-ب خروجی نهایی روش پرتودیسی (شکل دهی پرتو) دو مرحله‌ای در مرحله دوم

اعماق ۱۰ و ۳۰ میلی‌متر قرار داده شدند. همان‌طور که در شکل ۷ نشان داده شده است با تغییر عمق منبع مجازی عملکرد روش پرتودیسی (شکل دهی پرتو) دو مرحله‌ای دستخوش تغییر می‌شود به طوری که با قرار دادن منبع مجازی در اعماق نزدیک تراگذار (مبدل) (عمق ۱۰ میلی‌متر)، زاویه α در هر ارسال (تراگسیل) بزرگ‌تر می‌شود که این امر باعث افزایش تعداد مشاهدات در بازسازی هر نقطه تصویر در مرحله دوم شده و اندکی بار محاسباتی افزایش می‌یابد ولی از لحاظ تفکیک‌پذیری جانبی روش مورد نظر عملکرد بهتری ارائه می‌دهد. هم‌چنین با قرار دادن منبع مجازی در عمق دورتر (۳۰ میلی‌متر) به دلیل کوچک شدن زاویه α و به تبع آن کاهش تعداد مشاهدات در بازسازی نقاط تصویر در مرحله دوم، عملکرد روش از لحاظ زمان محاسبات در مرحله دوم بهبود یافته و دامنه لوب‌های کناری کم‌تر می‌شود ولی تفکیک‌پذیری (رزولوشن) جانبی تصاویر در این حالت بدتر می‌شود.



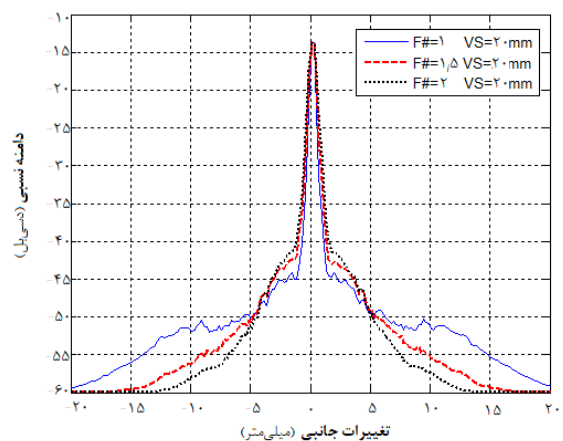
شکل ۷ تصویر فانتوم نقطه‌ای در روش پرتودیسی (شکل دهی پرتو) دو مرحله‌ای برای دو مقدار مختلف مربوط به عمق منبع مجازی (وی‌اس^{*}). (الف) منبع مجازی در عمق ۱۰ میلی‌متری، (ب) منبع مجازی در عمق ۳۰ میلی‌متری. محدوده دینامیکی تصاویر ۶۰ دسی‌بل می‌باشد.

* vs



شکل ۵ تصویر فانتوم نقطه‌ای در دو عمق ۵۰ و ۶۰ میلی‌متر برای سه مقدار مختلف $F_{\#}$. (الف) پرتودیسی (شکل دهی پرتو) دو مرحله‌ای ($F_{\#} = 1$), (ب) پرتودیسی (شکل دهی پرتو) دو مرحله‌ای ($F_{\#} = 1.5$) و (ج) پرتودیسی (شکل دهی پرتو) دو مرحله‌ای ($F_{\#} = 2$). محدوده دینامیکی تصاویر ۶۰ دسی‌بل می‌باشند.

در شکل ۶ به منظور تمایز بیشتر در تأثیر $F_{\#}$ بر عملکرد روش پرتودیسی (شکل دهی پرتو) دو مرحله‌ای، تغییرات جانبی در عمق ۵۰ میلی‌متر برای $F_{\#}$ های ۱، ۱.۵ و ۲ رسم شده‌اند. در این شکل، پهنای لوب اصلی معیاری از تفکیک‌پذیری جانبی می‌باشد به طوری که باریک بودن پهنای لوب اصلی به منزله تفکیک‌پذیری جانبی بهتر می‌باشد و برعکس. همان‌طور که از شکل ۶ مشخص است تغییرات جانبی برای $F_{\#} = 1$ دارای بهترین تفکیک‌پذیری جانبی و بیش‌ترین لوب کناری و برای $F_{\#} = 2$ دارای بدترین تفکیک‌پذیری (رزولوشن) جانبی و کم‌ترین لوب کناری می‌باشد.



شکل ۶ تغییرات جانبی در عمق ۵۰ میلی‌متر برای سه مقدار مختلف $F_{\#}$.

هم‌چنین به منظور بررسی اثر تغییر عمق منبع مجازی بر روی عملکرد روش ارائه شده به ترتیب نقاط کانونی در

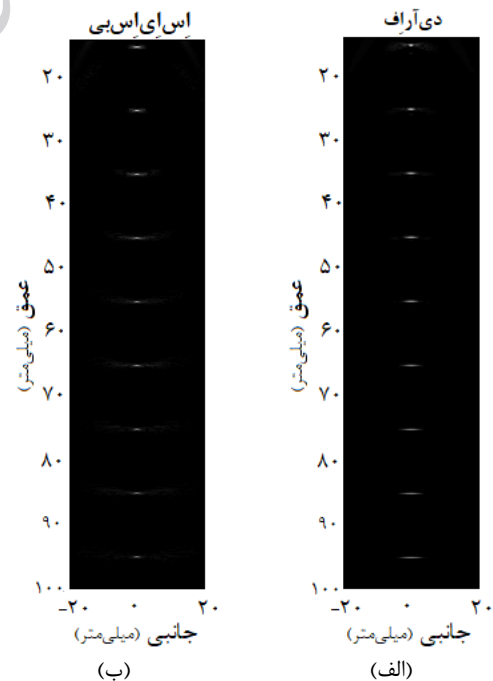
شکل ۹ تغییرات تفکیک پذیری جانبی دو روش پرتودیسی (شکل دهی پرتو) دو مرحله‌ای و تمرکز دینامیک در حالت (مُد) دریافت را از عمق ۱۵ تا ۹۵ میلی‌متر در تراز ۶ دسی‌بل (براساس معیار اِف‌دابل‌یو اِچ‌اِم) نشان می‌دهد. از شکل واضح است که بهبود تفکیک پذیری جانبی در تراز ۶ دسی‌بل (براساس معیار اِف‌دابل‌یو اِچ‌اِم) از عمق ۴۰ میلی‌متر به بعد حداقل ۲/۵ برابر می‌باشد. هم‌چنین مطابق شکل ۱۰ برای روش پرتودیسی دو مرحله‌ای، تقریباً از عمق ۷۸ میلی‌متر به بعد امکان افزایش خطوط تصویر مرحله اول با توجه به محدودیتی که در تعداد آن‌ها وجود دارد نیست. بدین معنی که در دو عمق ۸۵ و ۹۵ میلی‌متر تعداد خطوط تصویر مورد نیاز مرحله اول از تعداد خطوط تصویر واقعی که در عمل در اختیار داریم تجاوز می‌کند و این به معنای بدتر شدن نسبی تفکیک پذیری جانبی در این دو عمق می‌باشد. هرچند تغییرات تفکیک پذیری (رزولوشن) در این نواحی نسبت به روش تمرکز دینامیک در حالت (مُد) دریافت چندان شدید نیست.

۳-۴. مقایسه کنتراست دو روش پرتودیسی (شکل دهی پرتو) دو مرحله‌ای و تمرکز ثابت در دریافت در فانتوم کیست

به منظور بررسی کنتراست پرتودیسی‌گرها (شکل دهنده‌های پرتو)، از یک فانتوم کیست دارای چهار کیست به شعاع‌های ۳، ۲، ۱ و ۰/۵ میلی‌متری در عمق‌های ۳۵، ۴۵، ۵۵ و ۶۵ میلی‌متری محاط در نوفه (نویز) اسپیکل زمینه استفاده شد. همان‌طور که در شکل ۱۱-الف مشخص است روش تمرکز دینامیک در حالت (مُد) دریافت با افزایش عمق تصویربرداری قابلیت خود در تشخیص کیست را از دست می‌دهد به طوری که در دو عمق ۵۵ و ۶۵ میلی‌متری عملاً قادر به تشخیص کیست‌های با شعاع ۱ و ۰/۵ میلی‌متری نیست. هم‌چنین در دو عمق ۳۵ و ۴۵ میلی‌متری هر چند کیست‌های با شعاع ۳ و ۲ میلی‌متری تشخیص داده شده‌اند ولی لبه‌های کیست کاملاً از بین رفته است. دلیل این امر را به از دست رفتن تفکیک پذیری جانبی روش تمرکز دینامیک در حالت (مُد) دریافت با افزایش عمق می‌توان نسبت داد. شکل ۱۱-ب

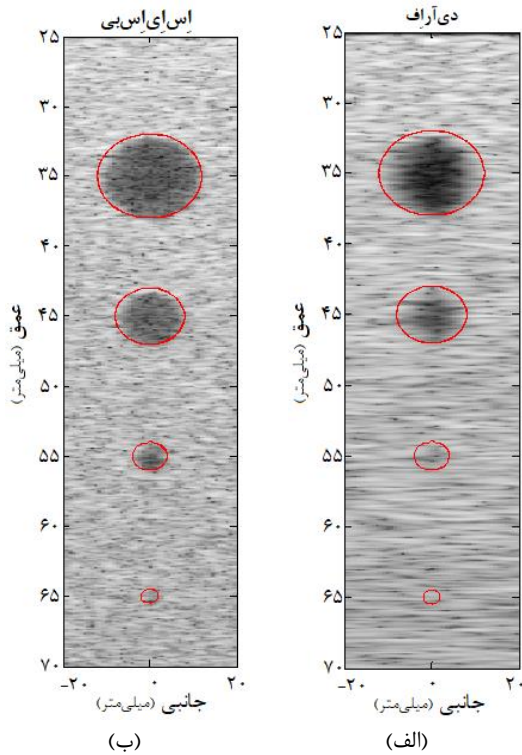
۳-۳. مقایسه تفکیک پذیری (رزولوشن) جانبی روش پرتودیسی (شکل دهی پرتو) دو مرحله‌ای با روش تمرکز ثابت در دریافت

شکل ۸ مقایسه تفکیک پذیری (رزولوشن) جانبی بین دو روش پرتودیسی (شکل دهی پرتو) دو مرحله‌ای (اِس‌اِی‌اِس‌بی) و تمرکز دینامیک در حالت (مُد) دریافت (دی‌آراف) را نشان می‌دهد. در مرکز تصویر، تفکیک پذیری روش پرتودیسی (شکل دهی پرتو) دو مرحله‌ای بهتر از روش تمرکز دینامیک در مد دریافت می‌باشد. تفکیک پذیری (رزولوشن) جانبی روش پرتودیسی (شکل دهی پرتو) دو مرحله‌ای برای اهداف تصویربرداری با عمق بیش‌تر از ۲۰ میلی‌متر تقریباً مستقل از عمق تصویربرداری عمل کرده است و با افزایش عمق تغییر چندانی حاصل نشده است. برای روش تمرکز دینامیک در حالت (مُد) دریافت، تفکیک پذیری (رزولوشن) وابسته به عمق تصویربرداری می‌باشد به طوری که با افزایش عمق تفکیک پذیری جانبی بدتر شده است. تفکیک پذیری جانبی روش تمرکز دینامیک در حالت (مُد) دریافت در اعماق نزدیک تراگذار (مبدل) بهتر می‌باشد.

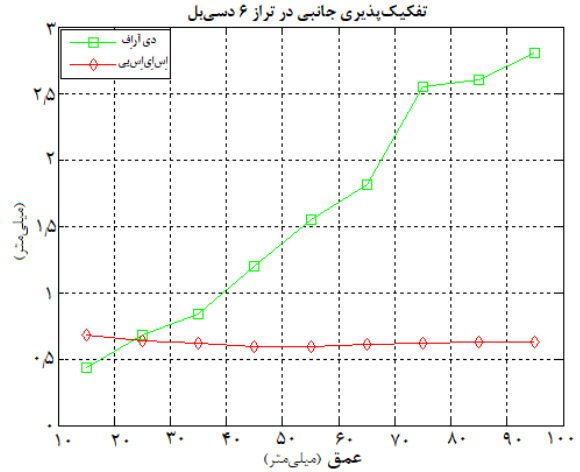


شکل ۸ (الف) روش تمرکز ثابت در دریافت، (ب) روش پرتودیسی (شکل دهی پرتو) دو مرحله‌ای با $F\# = 1.5$ و منبع مجازی در عمق ۲۰ میلی‌متری. محدوده دینامیکی تصاویر ۶۰ دسی‌بل می‌باشد.

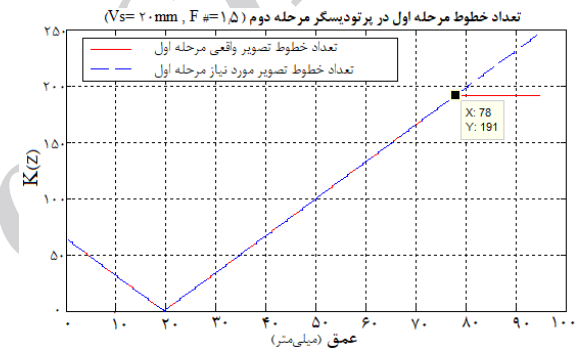
¹ FWHM; Full Width at Half Maximum



شکل ۹ تغییرات تفکیک پذیری (رزولوشن) جانبی بر حسب عمق در تراز ۶ دسی بل (براساس معیار ادابلیوچام) برای دو روش پرتودیسی (شکل دهی پرتو) دو مرحله‌ای و تمرکز ثابت در دریافت.



شکل ۱۱ فانتوم کیست شبیه‌سازی شده با شکل دهنده‌های پرتو مختلف (الف) تمرکز ثابت در دریافت، (ب) پرتودیسی (شکل دهی پرتو) دو مرحله‌ای. محدوده دینامیکی تصاویر ۶۰ دسی بل می‌باشد.



شکل ۱۰ نمودار $K(z)$ بر حسب عمق تصویربرداری.

روشنایی در خارج از آن (S_{out}) تعریف می‌شود. هم‌چنین پارامتر نسبت کنتراست به نوفه از حاصل تقسیم پارامتر نسبت کنتراست به نوفه به انحراف معیار شدت روشنایی در خارج از کیست سیاه (std_{out})، تعریف می‌شود. جدول ۱ پارامترهای نسبت کنتراست و نسبت کنتراست به نوفه مربوط به دو روش را در عمق‌های مختلف نشان می‌دهد. همان‌طور که مشخص است برای روش پرتودیسی دو مرحله‌ای با افزایش عمق تصویربرداری و کاهش شعاع کیست، معیار نسبت کنتراست و نسبت کنتراست به نوفه به ترتیب تقریباً ۷٫۵ دسی بل و ۴۱٫۵ درصد کاهش یافته است. در صورتی که این معیارها برای روش تمرکز دینامیک در حالت (مُد) دریافت به ترتیب تقریباً ۱۴ دسی بل و ۷۸ درصد کاهش یافته است که این به معنای عملکرد بهتر روش پرتودیسی دو مرحله‌ای می‌باشد. با روش پرتودیسی دو مرحله‌ای به‌طور متوسط نسبت کنتراست و نسبت کنتراست به نوفه به ترتیب تقریباً ۵ دسی بل و ۶۰ دسی بل نسبت به روش تمرکز دینامیک در حالت (مُد) دریافت بهبود یافته است.

عملکرد روش پرتودیسی (شکل دهی پرتو) دو مرحله‌ای را نشان می‌دهد. همان‌طور که مشخص است روش پرتودیسی دو مرحله‌ای با افزایش عمق تصویربرداری قادر به تشخیص تمامی کیست‌های بررسی شده حتی کیست با شعاع ۰٫۵ میلی‌متری می‌باشد. در مقایسه با روش تمرکز دینامیک در حالت (مُد) دریافت تشخیص دقیق تر لبه‌های کیست به‌وضوح مشخص است. با این حال کنتراست روش پرتودیسی (شکل دهی پرتو) دو مرحله‌ای نیز تحت تاثیر دامنه نسبتاً بالای لوب‌های کناری می‌باشد.

به منظور کمی‌سازی کنتراست دو روش تمرکز دینامیک در حالت (مُد) دریافت و پرتودیسی (شکل دهی پرتو) دو مرحله‌ای از پارامترهای نسبت کنتراست و نسبت کنتراست به نوفه استفاده شد. پارامتر نسبت کنتراست به‌صورت قدرمطلق اختلاف میانگین شدت روشنایی در داخل کیست سیاه (S_{in})، نسبت به میانگین شدت

جدول ۱ پارامترهای کنتراست فانوم کیست برای دو پرتودیسی (شکل دهنده پرتو) بررسی شده در چهار عمق ۳۵، ۴۵، ۵۵ و ۶۵ میلی‌متر.

الگوریتم	S_{in} (dB)	S_{out} (dB)	CR* (dB)	CNR** (dB)
DRF($z_{cyst}=35mm$)	-۳۴٫۱۸	-۱۵٫۷۲	۱۸٫۴۲	۳٫۲۵
SASB($z_{cyst}=35mm$)	-۳۳٫۰۵	-۱۹٫۴۵	۱۸٫۶۰	۳٫۲۵
DRF($z_{cyst}=45mm$)	-۲۷٫۸۹	-۱۵٫۷۲	۱۲٫۷۲	۲٫۲۴
SASB($z_{cyst}=45mm$)	-۳۰٫۳۳	-۱۴٫۴۵	۱۵٫۸۷	۲٫۷۷
DRF($z_{cyst}=55mm$)	-۲۲٫۳۲	-۱۵٫۸۹	۶٫۴۲	۱٫۱۳
SASB($z_{cyst}=55mm$)	-۲۸٫۹۶	-۱۴٫۵۰	۱۴٫۴۶	۲٫۵۳
DRF($z_{cyst}=65mm$)	-۲۰٫۲۷	-۱۶٫۱۷	۴٫۰۹	۰٫۷۲
SASB($z_{cyst}=65mm$)	-۲۵٫۷۶	-۱۴٫۸۶	۱۰٫۹۰	۱٫۹۰

$$CR=|S_{in} - S_{out}|, CNR=\frac{CR}{std_{out}}$$

* CR; Contrast Ration

** CNR; Contrast to Noise Ratio

راستای بهبود هرچه بیش تر کنتراست باشد. ادامه تحقیق ما در این زمینه متمرکز شده است.

۴. جمع بندی

در این تحقیق، روش پرتودیسی (شکل دهی پرتو) دو مرحله‌ای برای تصویربرداری فراصداي (اولتراساوند) پزشکی به روش روزنه هگزارده مورد استفاده قرار گرفت. این روش از دو پرتودیسی (شکل دهنده پرتو) استفاده می‌کند که خروجی مرحله اول به‌عنوان ورودی مرحله دوم به کار می‌رود. پردازش نهایی که به تشکیل تصویر با تفکیک پذیری (رزولوشن) بالا منجر می‌شود در مرحله دوم صورت می‌گیرد. پارامتر تأثیرگذار در این روش $F_{\#}$ مربوط به عنصر (المان) مجازی می‌باشد که کاهش آن، منجر به بهتر شدن تفکیک پذیری جانبی خواهد شد و برعکس. بنابراین انتخاب $F_{\#}$ مناسب، نکته مهم در عملکرد این روش محسوب می‌شود. در ادامه تفکیک پذیری جانبی این روش با روش تمرکز دینامیک در حالت (مُد) دریافت در تراز ۶ دسی‌بل (براساس معیار اِف‌دابل‌یو‌اچ‌ام) مقایسه شد. در مرکز تصویر، تفکیک پذیری جانبی روش پرتودیسی (شکل دهی پرتو) دو مرحله‌ای به‌طور قابل ملاحظه‌ای بهتر و مستقل از عمق تصویربرداری می‌باشد. روش تمرکز دینامیک در حالت (مُد) دریافت در عمق کم‌تر از ۲۰ میلی‌متر دارای تفکیک پذیری بهتری نسبت به روش پرتودیسی (شکل دهی پرتو) دو مرحله‌ای می‌باشد ولی از عمق ۲۰ میلی‌متر به بعد تفکیک پذیری جانبی کاملاً

۳-۵. بحث

با توجه به پیچیدگی محاسباتی کم‌تر روش پرتودیسی (شکل دهی پرتو) دو مرحله‌ای نسبت به روش‌های روزنه هگزارده معمول، به دلیل داشتن تمرکز ثابت در حالت (مُد) دریافت پرتودیسی (شکل دهنده پرتو) مرحله اول و هم‌چنین در اختیار قرار دادن تصاویری با کیفیت بهتر نسبت به روش تمرکز دینامیک در حالت (مُد) دریافت می‌توان از این روش به‌صورت عملی در حوزه تصویربرداری فراصداي (اولتراساوند) پزشکی استفاده کرد. هر چند روش ارائه شده در این پژوهش توانایی بهبود و ثابت نگه‌داشتن تفکیک پذیری (رزولوشن) جانبی را در محدوده وسیعی از محیط تصویربرداری دارا می‌باشد، با این حال عملکرد روش در اعماق نزدیک تراگذار (مبدل) نسبت به روش تمرکز دینامیک در حالت (مُد) دریافت خوب نیست. هم‌چنین از لحاظ کنتراست روش ارائه شده عملکرد مناسبی در تشخیص کیست با افزایش عمق تصویربرداری دارد. با این حال کنتراست روش پرتودیسی دو مرحله‌ای تحت تاثیر دامنه نسبتاً بالای لوب‌های کناری قرار دارد.

پژوهش‌های آینده می‌تواند شامل ارائه راه‌کارهایی مانند ترکیب با سایر روش‌های شکل دهی پرتو از جمله روش‌های وقفی به منظور بالا بردن توانایی روش پرتودیسی (شکل دهی پرتو) دو مرحله‌ای در بهبود تفکیک پذیری جانبی و کاهش لوب‌های کناری تصویر در

[7] C.B. Burckhardt, P. Grandchamp, H. Hoffman, "An experimental 2MHz Synthetic aperture sonar system intended for medical use," *IEEE Transactions on Sonics and Ultrasonics*, vol. 21, no. 1, pp. 1-6, 1974.

[8] R.N. Thomson, "Transverse and longitudinal resolution of the synthetic aperture focusing technique," *Ultrasonics*, vol. 22, no. 1, pp. 9-15, 1984.

[9] J.A. Jensen, S.I. Nikolov, K.L. Gammelmark, M.H. Pedersen, "Synthetic aperture ultrasound imaging," *Ultrasonics*, vol. 44, pp. 5-15, 2006.

[10] M.H. Bae, J.M.K. Jeong, "A study of synthetic-aperture imaging with virtual source elements in B-mode ultrasound imaging systems," *IEEE Transactions on Ultrasonics, Ferroelectrics, and Frequency Control*, vol. 47, no. 6, pp. 174-179, 2000.

[11] M. Karaman, P.C. Li, M. O'Donnell, "Synthetic aperture imaging for small scale systems," *IEEE Transactions on Ultrasonics, Ferroelectrics, and Frequency Control*, vol. 42, no. 3, pp. 429-442, 1995.

[12] M.H. Bae, J.M.K. Jeong, "A study of synthetic-aperture imaging with virtual source elements in B-mode ultrasound imaging systems," *IEEE Transactions on Ultrasonics, Ferroelectrics, and Frequency Control*, vol. 47, no. 6, pp. 174-179, 2000.

[13] S.I. Nikolov, J.A. Jensen, "Virtual ultrasound source in high-resolution ultrasound imaging," *Ultrasonic Imaging and Signal Processing*, vol. 4687, pp. 395-405, 2002.

[14] J. Kortbek, J.A. Jensen, K.L. Gammelmark, "Synthetic aperture focusing applied to imaging using a rotating single element transducer," *IEEE Ultrasonics Symposium*, pp. 1504-1507, 2007.

[15] J. Kortbek, J.A. Jensen, K.L. Gammelmark, "Synthetic aperture sequential beamforming," *IEEE International Ultrasonics Symposium*, vol. 1-4, pp. 966-969, 2008.

[16] J. A. Jensen, J. Kortbek, S.I. Nikolov, M. Hemmsen, B. Tomov, "Implementation of synthetic aperture imaging in medical ultrasound: The dual stage beamformer approach," *Synthetic Aperture Radar (EUSAR)*, 2010.

[17] M.C. Hemmsen, J.M. Hansen, J.A. Jensen, "Synthetic aperture sequential beamformation applied to medical imaging using a multi element convex array transducer," *Synthetic Aperture Radar (EUSAR)*, pp. 34-37, 2012.

وابسته به عمق تصویربرداری خواهد شد به‌طوری‌که با افزایش عمق تفکیک‌پذیری بدتر می‌شود. نتایج به‌دست‌آمده با روش پرتودیسی (شکل‌دهی پرتو) دو مرحله‌ای بهبود حداقل ۲٫۵ برابری در تفکیک‌پذیری (رزولوشن) جانبی را نشان می‌دهند. شبیه‌سازی فانتوم کیست نشان داد روش ارائه شده بطور متوسط کنتراست را از لحاظ معیارهای نسبت کنتراست و نسبت کنتراست به نوفه (نویز) به ترتیب به میزان ۵ دسی‌بل و ۶۰ درصد نسبت به روش تمرکز دینامیک در حالت (مُد) دریافت بهبود داده است. روش تمرکز دینامیک در حالت (مُد) دریافت برخلاف روش پرتودیسی (شکل‌دهی پرتو) دو مرحله‌ای با افزایش عمق تصویربرداری قابلیت خود در تشخیص کیست خصوصاً کیست‌های با شعاع کوچک‌تر را از دست می‌دهد. هم‌چنین با روش پرتودیسی (شکل‌دهی پرتو) دو مرحله‌ای تشخیص دقیق‌تر لبه‌های کیست در مقایسه با روش تمرکز دینامیک در حالت (مُد) دریافت به‌وضوح مشخص است.

۵. فهرست منابع

[1] C.A. Wiley, "Synthetic aperture radars," *IEEE Trans Aerospace Electronic Systems*, vol. 21, no.3 pp. 440-443, 1985.

[2] C.A. Wiley, "Pulsed doppler radar methods and apparatus," U.S. Patent 3196436, 1965.

[3] C.W. Sherwin, J.P. Ruina, R.D. Rawcliffe, "Some early developments in synthetic aperture radar systems," *IRE Transaction on Military Electronics*, vol. 6, no. 2, pp. 111-115, 1962.

[4] L.J. Cutrona, W.E. Vivian, E.N. Lieth, G.O. Hall, "A high-resolution radar combat-surveillance system," *IRE Transaction on Military Electronics*, vol. 5, no. 2, pp. 127-131, 1961.

[5] L.J. Cutrona, "Comparison of sonar system performance achievable using synthetic-aperture techniques with the performance achievable by more conventional means," *The Journal of the Acoustical Society of America*, vol. 58, no. 2, pp. 336-348, 1975.

[6] L.J. Cutrona, "Additional characteristics of synthetic-aperture sonar systems and a further comparison with nonsynthetic-aperture sonar systems," *The Journal of the Acoustical Society of America*, vol. 61, no. 5, pp. 1213-1217, 1977.

- [18] N. Oddershede, J.A. Jensen, "Effects influencing focusing in synthetic aperture vector flow imaging," IEEE Ultrasonics, Ferroelectrics, and Frequency Control Society, vol. 54, no. 9, pp. 1811-1825, 2007.
- [19] J.A. Jensen, "Field II: A Program for Simulating Ultrasound Systems", Medical, Biological Engineering, Computing, vol. 34, pp. 351-353, 1996.

Archive of SID